

Nombre del Producto: Anticuerpo policlonal de conejo Mucin 16**Nº de Catálogo: APRab14240**

Solo para uso en investigación.

Resumen

Descripción	Anticuerpo policlonal de conejo
Huésped	Conejo
Aplicación	WB,IHC
Reactividad	Humano, Rata, Ratón
Conjugación	No conjugado
Modificación	Sin modificar
Isotipo	IgG
Clonalidad	Policlonal
Formato	Líquido
Concentración	1 mg/ml
Almacenamiento	Hacer alícuotas y almacenar a -20°C (válido por 12 meses). Evitar ciclos de congelación/descongelación.
Envío	Bolsas de hielo
Tampon	Líquido en PBS que contiene 50% de glicerol, 0,5% de proteína protectora y 0,02% de conservante de nuevo tipo N.
Purificación	Purificación por afinidad

Aplicación

Relación de Dilución	WB 1:500-1:2000,IHC 1:50-1:300
Peso Molecular	-

Información del Antígeno

Nombre del Gen	MUC16
Nombres Alternativos	MUC16; CA125; Mucin-16; MUC-16; Ovarian cancer-related tumor marker CA125; CA-125; Ovarian carcinoma antigen CA125
ID del Gen	94025.0
ID SwissProt	Q8WXI7
Inmunógeno	El antisuero se produjo contra el péptido sintetizado derivado del MUC16 humano. Rango de AA: 13311-13360.

Antecedentes

Dominio: Compuesto por tres dominios, un dominio N-terminal rico en Ser y Thr, un dominio repetido que contiene más de 60 repeticiones en tándem parcialmente conservadas de 156 aminoácidos cada una (AA 12061-21862) y un dominio transmembrana C-terminal con una cola citoplasmática corta. **Función:** Se cree que proporciona una barrera protectora y lubricante contra partículas y agentes infecciosos en las superficies mucosas. **Inducción:** Regulado positivamente en células de cáncer de ovario. **Varios:** Antígeno que es la base de un ensayo sérico ampliamente utilizado para el seguimiento de pacientes con cáncer epitelial de ovario. Debido a la falta de sensibilidad para la enfermedad en estadio I y la falta de especificidad, es de poco valor en la detección del cáncer de ovario temprano. Debido a sus niveles elevados similares en algunas afecciones no malignas, no es lo suficientemente específico como para ser utilizado en el cribado poblacional. **Polimorfismo:** El número de repeticiones es altamente polimórfico. **PTM:** Fuertemente N-glicosilado; Expresa principalmente un alto contenido de manosa y glicanos N-ligados de tipo bisectante complejo. **PTM:** Fuertemente O-glicosilado; expresa glicanos centrales de tipo 1 y tipo 2. **PTM:** Puede estar fosforilado. La fosforilación del dominio C-terminal intracelular puede inducir la escisión proteolítica y la liberación del dominio extracelular al espacio extracelular. **PTM:** Puede contener numerosos puentes disulfuro. La asociación de varias moléculas de la forma secretada puede ocurrir a través de puentes disulfuro intercatenarios, lo que proporciona una matriz gelatinosa extraordinariamente grande en el espacio extracelular o en el lumen de los conductos secretores. **Similitud:** Contiene 14 repeticiones LRR (ricas en leucina). **Similitud:** Contiene 2 repeticiones ANK. **Similitud:** Contiene 56 dominios SEA. **Ubicación subcelular:** Puede liberarse al espacio extracelular tras la fosforilación del extremo C intracelular, lo que induce la escisión proteolítica y la liberación del dominio extracelular. **Subunidad:** Se une a MSLN. La unión a MSLN media la adhesión celular heterotípica. Esto puede contribuir a la metástasis del cáncer de ovario en el peritoneo al iniciar la adhesión celular al epitelio mesotelial mediante la unión a MSLN. **Especificidad tisular:** Se expresa en los epitelios corneal y conjuntival (a nivel proteico). Sobreexpresado en carcinomas de ovario y tumores de bajo potencial maligno (LMP) en comparación con su expresión en tejido ovárico normal y adenomas ováricos.

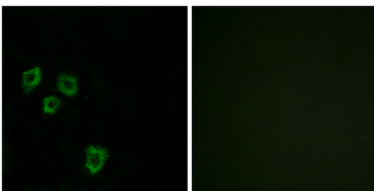
Dominio: Compuesto por tres dominios: un dominio N-terminal rico en Ser y Thr, un dominio repetido con más de 60 repeticiones en tándem parcialmente conservadas de 156 aminoácidos cada una (AA 12061-21862) y un dominio transmembrana C-terminal con una cola citoplasmática corta. **Función:** Se cree que proporciona una barrera protectora y lubricante contra partículas y agentes infecciosos en las superficies mucosas. **Inducción:** Regulado positivamente en células de cáncer de ovario. **Varios:** Antígeno que constituye la base de un ensayo sérico ampliamente utilizado para el seguimiento de pacientes con cáncer epitelial de ovario. Debido a su falta de sensibilidad para la enfermedad en estadio I y a su falta de especificidad, es de escasa utilidad en la detección del cáncer de ovario en etapa temprana. Debido a sus niveles elevados similares en algunas afecciones no malignas, no es lo suficientemente específico como para su uso en el cribado poblacional. **Polimorfismo:** El número de repeticiones es altamente polimórfico. **PTM:** Fuertemente N-glicosilado; expresa principalmente un alto contenido de manosa y glicanos N-ligados de tipo bisectante complejo. **PTM:** Fuertemente O-glicosilado; expresa glicanos centrales de tipo 1 y tipo 2. **PTM:** Puede estar fosforilado. La fosforilación del dominio C-terminal intracelular puede inducir la escisión proteolítica y la liberación del dominio extracelular al espacio extracelular. **PTM:** Puede contener numerosos puentes disulfuro. La asociación de varias moléculas de la forma secretada puede ocurrir a través de puentes disulfuro intercatenarios, lo que proporciona una matriz gelatinosa extraordinariamente grande en el espacio extracelular o en el lumen de los conductos secretores. **Similitud:** Contiene 14 repeticiones LRR (ricas en leucina). **Similitud:** Contiene 2 repeticiones ANK. **Similitud:** Contiene 56 dominios SEA. **Ubicación**

subcelular: Puede liberarse al espacio extracelular tras la fosforilación del extremo C intracelular, lo que induce la escisión proteolítica y la liberación del dominio extracelular. Subunidad: Se une a MSLN. La unión a MSLN media la adhesión celular heterotípica. Esto puede contribuir a la metástasis del cáncer de ovario en el peritoneo al iniciar la adhesión celular al epitelio mesotelial mediante la unión a MSLN. Especificidad tisular: Se expresa en los epitelios corneal y conjuntival (a nivel proteico). Sobreexpresado en carcinomas de ovario y tumores de ovario de bajo potencial maligno (LMP) en comparación con la expresión en tejido ovárico normal y adenomas ováricos.

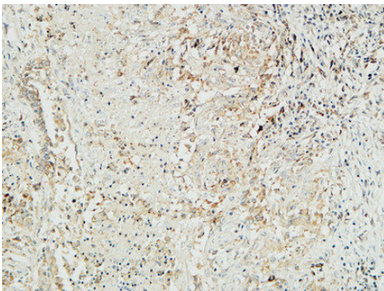
Área de Investigación

-

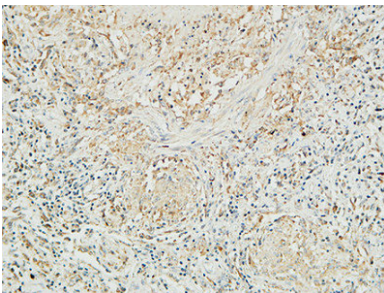
Datos de Imagen



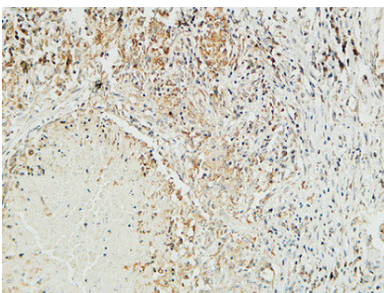
Análisis de inmunofluorescencia de células HepG2 con el anticuerpo MUC16. La imagen de la derecha muestra el péptido sintetizado.



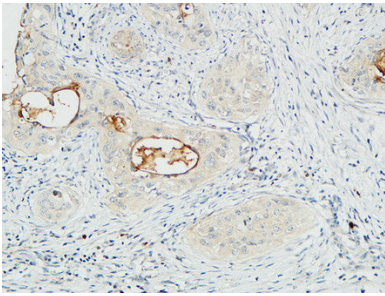
Análisis inmunohistoquímico de pulmón humano incluido en parafina. 1. El anticuerpo se diluyó a 1:100 (4°, durante la noche). 2. Se utilizó EDTA de alta presión y temperatura, pH 8,0 para la recuperación del antígeno. 3. El anticuerpo secundario se diluyó a 1:200 (temperatura ambiente, 30 min).



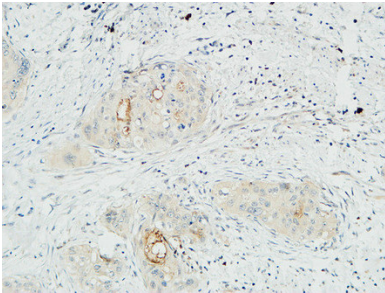
Análisis inmunohistoquímico de pulmón humano incluido en parafina. 1. El anticuerpo se diluyó a 1:100 (4°, durante la noche). 2. Se utilizó EDTA de alta presión y temperatura, pH 8,0 para la recuperación del antígeno. 3. El anticuerpo secundario se diluyó a 1:200 (temperatura ambiente, 30 min).



Análisis inmunohistoquímico de pulmón humano incluido en parafina. 1. El anticuerpo se diluyó a 1:100 (4°, durante la noche). 2. Se utilizó EDTA de alta presión y temperatura, pH 8,0 para la recuperación del antígeno. 3. El anticuerpo secundario se diluyó a 1:200 (temperatura ambiente, 30 min).



Análisis inmunohistoquímico de carcinoma cervical humano incluido en parafina. 1. El anticuerpo se diluyó a 1:100 (4°, durante la noche). 2. Se utilizó EDTA de alta presión y temperatura, pH 8,0 para la recuperación del antígeno. 3. El anticuerpo secundario se diluyó a 1:200 (temperatura ambiente, 30 min).



Análisis inmunohistoquímico de carcinoma cervical humano incluido en parafina. 1. El anticuerpo se diluyó a 1:100 (4°, durante la noche). 2. Se utilizó EDTA de alta presión y temperatura, pH 8,0 para la recuperación del antígeno. 3. El anticuerpo secundario se diluyó a 1:200 (temperatura ambiente, 30 min).